

알미늄 합금 5083-0 용접부의 피로특성

* 황 주환, 박 동환
현대중공업(주) 산업기술연구소

1. 서 론

천연 액화 가스 (Liquid Natural Gas, LNG)는 -162°C의 극저온 상태에서 저장 및 운송되므로, LNG tank 설계와 제작시 가장 중요하게 고려되는 것은 조업중 tank 외부로의 LNG 누출방지이다. 이를 위해서는 LNG tank 구조에 대한 상세한 응력해석을 통한 결정된 정적하중을 기초로 한 안전 설계가 기본이나, LNG tank는 운항중에 발생되는 선체진동, tank 내의 액체유동 및 파랑하중 등 의 피로하중을 받기 때문에 피로설계 역시 반드시 수반되어야 한다. 피로해석을 위해서는 LNG tank를 구성하고 있는 모재 및 그 용접부의 피로특성 평가가 선행되어져야 하며, 이를 토대로 조업중 LNG tank에서 피로파괴가 발생하지 않도록 최종 설계가 이루어져야 한다. 즉, 조업중 피로균열 발생이 없어야 하며, 혹 용접부 결함으로 인하여 피로균열이 발생하더라도 LNG tank의 사용수명 까지는 전파 되지 않도록 설계되어야 한다. LNG tank에서 피로균열을 야기할 수 있는 부분은 모재내의 미세결함, 용접부의 toe 혹은 root부 (응력집중) 또는 용착금속내의 결함 여건에 기공 등이 있다.

따라서 본 연구에서는 MOSS 방식 LNG tank용 Al 5083 합금 및 그 용접부의 피로특성 즉, S-N 곡선을 통한 피로강도 평가와 용접부의 피로균열 전파속도 측면에서 평가하고자 하였다.

2. 실험 방법

본 연구에 사용된 재료는 두께 25 mm 비열처리형인 Al-Mg계 5083 합금이었으며, 입연후 annealing 된 것이었다 : Al5083-0. Table 1에 Al 5083-0 합금의 화학적 조성과 기계적 성질을 나타내었다.

<Table 1> Chemical composition and mechanical properties of Al 5083-0 alloy

Chemical composition (wt%)							Mechanical properties		
Si	Fe	Cu	Mn	Mg	Cr	Zn	Y.S (kg/mm ²)	T.S (kg/mm ²)	EI. (%)
0.14	0.34	0.03	0.91	4.8	0.1	0.10	17.2	30.2	20

용접부의 개선은 single bevel groove 형상을 선정하여 열영향부의 피로 특성을 평가하기에 적합하도록 하였다. 용접은 입향 자세로 auto carriage에 정착된 자동 MIG 용접을 실시하였다. 용접재료는 모재와 동급인 Al-5183 wire (1.6mm dia.)이었고 용접조건은 현업 공정과 동일하였다.

피로특성은 모재와 여송을 제거한 용접부에 대하여 high cycle fatigue (HCF), low cycle fatigue (LCF) 그리고 하중 혹은 ΔK 제어방식으로 ΔK threshold 값 및 피로균열 전파속도 평가시험 등을 통하여 평가하였다. 피로시험은 상온에서 25톤과 50톤 용량의 servo hydraulic 시험기로 실시하였다.

3. 실험 결과

3.1 반복경화 특성

일정변형율하에서 얻어진 용착금속과 모재의 hysteresis loops을 살펴볼때 모재와 용착금속은 모두 반복 하중하에서 경화되어짐을 알 수 있다. Fig. 1에서 보여주듯이 cycle수 즉, 피로횟수가 증가할수록 경화현상이 현저해져 파괴직전의 경화정도는 초기 cycle에 비하여 160% 증가하였다.

Fig. 2는 반복 하중하에서의 응력 대 변형율간의 관계를 정적 인장시의 결과와 함께 보여주고 있다. 모재나 용착금속이 반복하중에 의하여 약 10 Kg/mm^2 정도로 경화되었다. 반복경화 현상은 모재와 용착금속 모두 변형율이 증가할수록 더욱 현저하며, 경화율은 초기에 급격히 증가하다가 점차 일정한 값으로 수렴하고 있다. 항복후 즉, 소성변형후 응력과 변형율의 관계는 power law " $\sigma = K(\epsilon)^n$ " 으로 나타낼 수 있다.

3.2 피로 강도

모재 및 용접부의 피로강도를 구하기 위하여 Fig. 3에서 보여주듯이 응력진폭을 약 1 kg/mm^2 간격으로 하여 high cycle fatigue 실험을 실시하였다. 피로강도는 1×10^7 cycle에서 피로균열의 발생이 없는 응력으로 결정하였다. Fig. 3에서 모재의 피로강도는 약 $16 - 17 \text{ Kg/mm}^2$ 정도이며, 용접부의 피로강도는 $12 - 13 \text{ Kg/mm}^2$ 사이로써 모재보다 약 4 kg/mm^2 정도 낮음을 알 수 있다. 용접부의 피로파괴는 표면과 내부의 porosity가 용착금속에서 항시 발생되었으므로 결국 용착금속의 피로강도가 곧 용접부의 피로강도임을 알 수 있다.

3.3 피로 균열 전파속도

용접부에서의 피로균열 전파속도는 Fig. 4에서 보여주듯이 상호 차이가 크게 없으나, 저 ΔK 영역 ($\Delta K = 7 \sim 25 \text{ kg.mm}^{-3/2}$)에서는 열영향부의 전파속도가 높으며, 높은 ΔK 영역 (25이상)에서는 용착금속의 전파속도가 빠름을 알 수 있다. 한편, ΔK threshold 값은 모재, HAZ나 용착금속에 관계없이 약 $4 \sim 5 \text{ kg.mm}^{-3/2}$ 정도로 평가되었다.

4. 결 론

- 1) Al 5083-0 합금과 용접부 (bead off) 의 피로강도는 각기 16 kg/mm^2 , 12 kg/mm^2 보다 약간 높다.
- 2) 용착금속, 열영향부 및 모재의 피로균열 전파속도나 ΔK threshold 값은 큰 차이가 없으며 ΔK threshold 값은 $4\sim5 \text{ kg/mm}^{-3/2}$ 정도이었다.

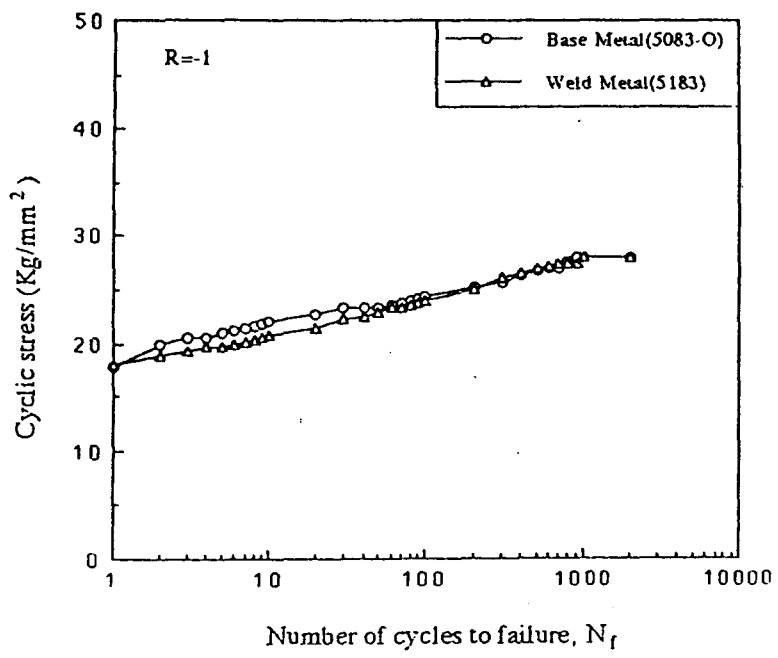


Fig.1 Cyclic stress-number of cycles curves of Al 5083-O weldment

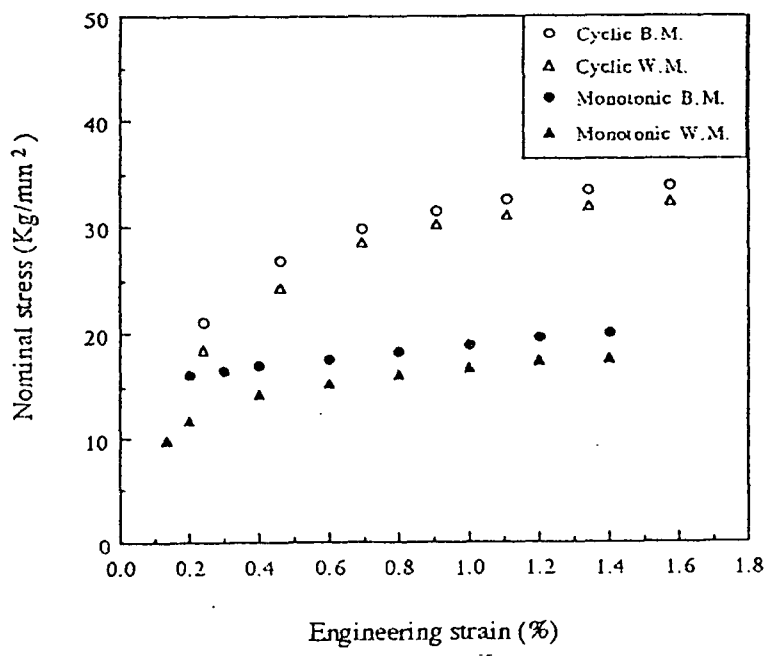


Fig.2 Comparison of monotonic & cyclic stress strain curves

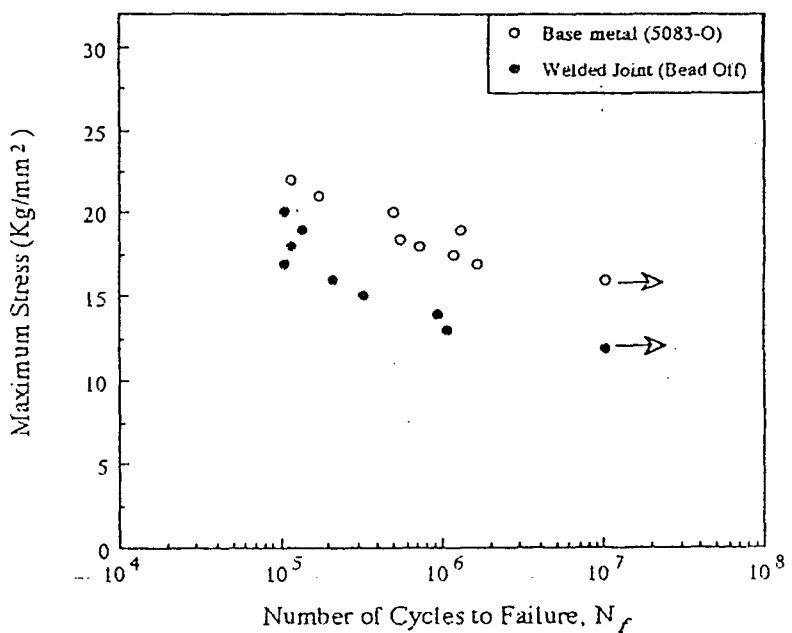


Fig. 3 S-N curves for Al 5083-O weldment

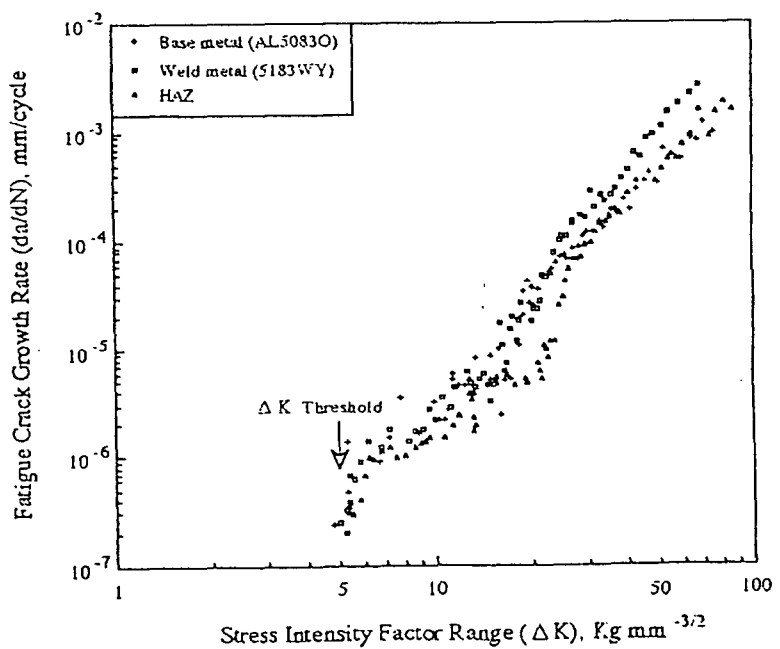


Fig. 4 Fatigue crack growth rate for Al 5083-O weldment